

# ТЕОРІЯ І МЕТОДИ АВТОМАТИЧНОГО УПРАВЛІННЯ

## ТЕОРИЯ И МЕТОДЫ АВТОМАТИЧЕСКОГО УПРАВЛЕНИЯ

### THEORY AND METHODS OF AUTOMATIC CONTROL

УДК 681.511.4

Е. М. Потапенко, А. Е. Казурова

#### ВЫСОКОТОЧНОЕ УПРАВЛЕНИЕ НЕОПРЕДЕЛЕННЫМИ МНОГОСВЯЗНЫМИ ОБЪЕКТАМИ

#### Часть 2. Пример. Управление роботом

*С помощью метода, разработанного в первой части работы [1], синтезируется закон управления перемещением неизвестного груза двухзвенным роботом с неточно известными характеристиками исполнительных органов. В качестве измерителей используются только датчики углов поворота звеньев робота. Компьютерное моделирование подтвердило робастность и высокую точность рассматриваемого управления.*

#### ВВЕДЕНИЕ

Самым радикальным методом обеспечения высокой точности, вплоть до инвариантности, является комбинированное управление. Для формирования комбинированного управления необходимо знание возмущений, действующих на СУ. С этой целью в модели СУ выделяется номинальная модель с известными параметрами, а все неидеальности объединяются в вектор неопределенности (ВН). Для простоты синтеза и анализа СУ номинальная модель задается стационарной (с постоянными параметрами). Очевидно, что ВН может нелинейно зависеть как от времени, так и от координат вектора состояния. В том случае,

когда ВН – кусочно непрерывная функция своих аргументов, на коротких интервалах времени его можно считать постоянным или параболически (с неизвестными параметрами) зависящим от времени. В случае выполнения условий полной восстанавливаемости для преобразованной системы можно построить наблюдатель, оценивающий как вектор состояния системы, так и ВН. Полученная информация позволяет организовать комбинированное управление, состоящее из двух составляющих: 1) компенсирующей ВН и 2) формирующей заданное качество переходных процессов. Напомним суть метода управления, изложенного в первой части данной работы [1].

Пусть объект управления с датчиками описан уравнениями

$$M(x, t)\ddot{x} + R(x, \dot{x}, t)\dot{x} + k(x, t) = Bu + B'h(t),$$

$$R = R_1 + R_2, \quad y = Cx + Hf,$$

где  $(x^T, \dot{x}^T)^T$ ,  $u$ ,  $y$ ,  $h$  – векторы состояния  $\in R^{2n}$ , управления  $\in R^m$ , измерения  $\in R^l$  и внешних воздей-

ствий  $\in \mathbb{R}^m$ ;  $k$  – вектор потенциальных сил;  $M$ ,  $R_1$ ,  $R_2$  – матрицы инерции, диссипативных, кориолисовых и центробежных сил. В соответствии с вышеизложенным, номинальная модель принимается в виде

$$M_0 \ddot{x} + R_0 \dot{x} + K_0 x = B_0 u + Gf,$$

$$f = f(x, \dot{x}, \ddot{x}, u, t), \quad y = Cx + Hf,$$

где  $M_0 = M_0^T > 0$ ,  $M_0 M_0^{-1} = E$  и все матрицы являются известными и постоянными; вектор  $f \in \mathbb{R}^a$  – вектор неопределенности, составленный из возмущений, действующих на номинальный объект, и погрешностей датчиков. Будет полагаться, что  $f$  – ограниченная кусочно дифференцируемая по каждому аргументу вектор – функция. За счет вектора  $f$  матрицы  $M_0$ ,  $R_0$  и  $K_0$  можно формировать произвольным образом вплоть до того, что сделать матрицу  $M_0$  диагональной, а матрицы  $R_0$  и  $K_0$  – вообще нулевыми. В этом случае будет осуществлена декомпозиция всей системы на отдельные уравнения, связанные между собой только через вектор неопределенности. Как показано в первой части данной работы, для системы (4), (5) можно синтезировать децентрализованное робастное комбинированное управление.

В качестве иллюстрации возможностей изложенного в первой части метода управления [1] рассмотрим один из самых сложных объектов управления – робот.

Цель второй части статьи – синтез и анализ законов управления двухзвенным неопределенным роботом методом, предложенным в первой части.

## 1 ПОСТАНОВКА ЗАДАЧИ

На рис. 1 схематично изображен двухзвенный робот, предназначенный для перемещения груза вдоль горизонтальной оси  $Ox$ .

На рисунке приняты следующие обозначения:  $\alpha_1$  – угол отклонения звена 1 от оси  $Ox$ ;  $\alpha_2$  – угол отклонения звена 2 от продольной оси звена 1 (положительные отклонения – против часовой стрелки);  $l_1$ ,  $l_2$  – длины соответствующих звеньев;  $l_{21}$ ,  $l_{22}$  – расстояния от центра масс второго звена с грузом до

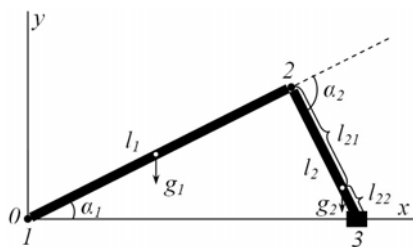


Рисунок 1

концов звена;  $g_1, g_2$  – гравитационные силы, действующие на соответствующие звенья.

Приняты следующие параметры робота:

$$l_1 = 2 \text{ м}, \quad l_2 = 1 \text{ м};$$

масса первого звена ( $m_1$ ) 28 кг, масса второго звена на 14 кг;

момент инерции первого звена относительно шарнира 1 ( $I_1$ ) 28 кг · м<sup>2</sup>;

масса второго звена с грузом ( $m_2$ ) меняется в диапазоне от 14 до 44 кг (систему «второе звено – груз» для краткости в дальнейшем будем называть «вторым звеном»);

момент инерции второго звена относительно его центра масс ( $I_2$ ) может меняться в диапазоне 0,875...2,875 кг · м<sup>2</sup>.

Точные значения переменных параметров неизвестны. Следует подчеркнуть, что для рассматриваемого метода управления нет необходимости в знании точных параметров робота. В связи с этим, будем полагать

$$I_1 = I_{01}, \quad I_2 = I_{02} + I_{\delta 2}, \quad (1)$$

здесь  $I_{01}, I_{02}$  – номинальные значения,  $I_{\delta 2}$  – неизвестные погрешности. При выборе параметров системы управления принималось  $I_2 = I_{02} = 1,875 \text{ кг} \cdot \text{м}^2$ , при моделировании –  $I_2 = 0,875 \dots 2,875 \text{ кг} \cdot \text{м}^2$ ,  $m_2 = 14 \dots 44 \text{ кг}$ .

**Задача.** В соответствии с первой частью работы построить компенсатор, обеспечивающий перемещение между двумя точками груза 3 по оси  $Ox$  с заданной скоростью при измерении только углов поворота в шарнирах (без измерения координат  $x$  и  $y$ ).

## 2 КИНЕМАТИКА РОБОТА

При перемещении груза вдоль оси  $Ox$  выполняются следующие кинематические соотношения:

$$x = l_1 \cos(\alpha_1) + l_2 \cos(\alpha_1 + \alpha_2), \quad (2)$$

$$y = 0 \equiv l_1 \sin(\alpha_1) + l_2 \sin(\alpha_1 + \alpha_2). \quad (3)$$

Из уравнения (3)

$$\sin(\alpha_1) = -\frac{l_2}{l_1} \sin(\alpha_1 + \alpha_2). \quad (4)$$

Возведя левую и правую части уравнения (4) в квадрат и перейдя от квадратов синусов к квадратам косинусов, получим

$$\cos^2(\alpha_1) = 1 - \left(\frac{l_2}{l_1}\right)^2 + \left(\frac{l_2}{l_1}\right)^2 \cos^2(\alpha_1 + \alpha_2). \quad (5)$$

Из уравнения (2) найдем

$$\cos(\alpha_1) = \frac{1}{l_1}(x - l_2 \cos(\alpha_1 + \alpha_2)). \quad (6)$$

Возведя левую и правую части уравнения (6) в квадрат и сопоставив полученное с уравнением (5), найдем

$$\cos(\alpha_1 + \alpha_2) = \frac{1}{2xl_2}(x^2 - l_1^2 + l_2^2). \quad (7)$$

Из уравнения (7)

$$\alpha_1 + \alpha_2 = \pm \arccos\left(\frac{1}{2xl_2}(x^2 - l_1^2 + l_2^2)\right). \quad (8)$$

Из уравнения (6) получим

$$\alpha_1 = \pm \arccos\left(\frac{1}{l_1}(x - l_2 \cos(\alpha_1 + \alpha_2))\right). \quad (9)$$

В том случае, когда в выражении (9) принят знак «+», а в выражении (8) – «-», будет иметь место кинематическая схема, изображенная на рис. 1. При противоположных знаках будет схема, симметричная изображенной схеме относительно оси  $Ox$ .

Найденные значения углов  $\alpha_1, \alpha_2$  будут служить в системе управления программными углами  $\alpha_{1p}, \alpha_{2p}$ . Программные скорости и ускорения находятся дифференцированием полученных выражений.

Движение точки 3 по оси  $Ox$  задается уравнением  $x = x_0 + vt$ , где  $v$  – скорость точки 3. Закон изменения программной скорости ясен из рис. 4.

Координаты центра масс второго звена описываются следующими уравнениями:

$$\begin{aligned} x_2 &= l_1 \cos(\alpha_1) + l_{21} \cos(\alpha_1 + \alpha_2), \\ y_2 &= l_1 \sin(\alpha_1) + l_{21} \sin(\alpha_1 + \alpha_2). \end{aligned} \quad (10)$$

Скорости центра масс второго звена получаются путем дифференцирования выражений (10).

### 3 ДИНАМИКА РОБОТА

Кинетическая энергия всей системы определяется выражением

$$E_c = \frac{1}{2}(I_1 \dot{\alpha}_1^2 + I_2 (\dot{\alpha}_1 + \dot{\alpha}_2)^2 + m_2(x_2^2 + y_2^2)). \quad (11)$$

Уравнения движения Лагранжа второго рода имеют следующий вид:

$$\begin{aligned} \frac{d}{dt}\left(\frac{\partial E_c}{\partial \dot{\alpha}_1}\right) - \frac{\partial E_c}{\partial \alpha_1} &= m_{\alpha_1} + m_{11} + m_{12}, \\ \frac{d}{dt}\left(\frac{\partial E_c}{\partial \dot{\alpha}_2}\right) - \frac{\partial E_c}{\partial \alpha_2} &= m_{\alpha_2} + m_{22}. \end{aligned} \quad (12)$$

где  $m_{\alpha_1}, m_{\alpha_2}$  – моменты со стороны приводов, действующие на звенья 1 и 2;

$$m_{11} = -g_1 \frac{l_1}{2} \cos(\alpha_1), \quad (13)$$

$$m_{12} = -g_2 l_1 \sin(\alpha_1 + \alpha_2) \sin(\alpha_2) \quad (14)$$

– моменты сил веса  $g_1, g_2$ , действующие на звено 1;

$$m_{22} = -g_2 l_{21} \cos(\alpha_1 + \alpha_2) \quad (15)$$

– момент силы веса  $g_2$ , приложенный к звену 2.

Зададим управляющие воздействия следующим образом:  $m_{\alpha_1} = m_{\alpha_{10}} + m_{\alpha_{1\delta}}, m_{\alpha_2} = m_{\alpha_{20}} + m_{\alpha_{2\delta}}$ , где  $m_{\alpha_{1\delta}}, m_{\alpha_{2\delta}}$  – погрешности знания моментов. Тогда с учетом уравнений (1), (10), (11), (13)–(15) уравнения движения (12) принимают вид

$$I_{01} \ddot{\alpha}_1 = m_{\alpha_{10}} + f_1, \quad I_{02} \ddot{\alpha}_2 = m_{\alpha_{20}} + f_2, \quad (16)$$

где неопределенности  $f_1$  и  $f_2$  описываются следующими выражениями:

$$\begin{aligned} f_1 &= m_{\alpha_{1\delta}} + m_{11} + m_{12} - [(I_2 + m_2(l_1^2 + l_{21}^2))\ddot{\alpha}_1 + \\ &+ 2m_2 l_1 l_{21} \cos(\alpha_2) \ddot{\alpha}_1 - 2m_2 l_1 l_{21} \sin(\alpha_2) \dot{\alpha}_2 \dot{\alpha}_1 + \\ &+ (I_2 + m_2 l_{21}^2) \ddot{\alpha}_2 + m_2 l_1 l_{21} \cos(\alpha_2) \ddot{\alpha}_2 - m_2 l_1 l_{21} \sin(\alpha_2) \dot{\alpha}_2^2], \\ f_2 &= -I_{\delta 2} \ddot{\alpha}_2 + m_{\alpha_{2\delta}} + m_{22} - [m_2 l_{21}^2 \ddot{\alpha}_2 + (I_2 + m_2 l_{21}^2) \ddot{\alpha}_1 + \\ &+ m_2 l_1 l_{21} \cos(\alpha_2) \ddot{\alpha}_1 + m_2 l_1 l_{21} \sin(\alpha_2) \dot{\alpha}_1^2]. \end{aligned} \quad (17)$$

Таким образом, в неопределенности собраны неточности формирования управляющих воздействий, гравитационные силы и моменты, неточности знания моментов инерции звеньев, а также нелинейности модели робота и перекрестные динамические связи между звеньями. Скалярные уравнения (16) взаимосвязаны только через неопределенности  $f_1, f_2$ . Следует обратить внимание на сложный вид неопределенностей даже для двухзвеного робота.

### 4 ЗАКОНЫ УПРАВЛЕНИЯ ДВИЖЕНИЕМ (РЕГУЛЯТОРЫ)

Для полной декомпозиции законов управления представим их в виде

$$m_{\alpha_{10}} = m_{01} - \hat{f}_1, \quad m_{\alpha_{20}} = m_{02} - \hat{f}_2, \quad (18)$$

здесь  $\hat{f}_1, \hat{f}_2$  – оценки соответствующих неопределенностей, предназначенные для компенсации их влияния, а составляющие  $m_{01}, m_{02}$  формируют желаемый вид переходного процесса и задаются выражениями

$$\begin{aligned} m_{01} &= -k_{11}(\hat{\alpha}_1 - \alpha_{1p}) - k_{12}(\dot{\hat{\alpha}}_1 - \dot{\alpha}_{1p}) + I_{01}\ddot{\alpha}_{1p}, \\ m_{02} &= -k_{21}(\hat{\alpha}_2 - \alpha_{2p}) - k_{22}(\dot{\hat{\alpha}}_2 - \dot{\alpha}_{2p}) + I_{02}\ddot{\alpha}_{2p}; \end{aligned} \quad (19)$$

символом « $\hat{\cdot}$ » обозначены оценки соответствующих переменных. Последовательная подстановка выражений (19) в (18), а затем (18) в (16) в предположении точной оценки неопределенностей дает уравнения

$$\begin{aligned} I_{01}\ddot{\alpha}_1 &= -k_{11}(\hat{\alpha}_1 - \alpha_{1p}) - k_{12}(\dot{\hat{\alpha}}_1 - \dot{\alpha}_{1p}) + I_{01}\ddot{\alpha}_{1p}, \\ I_{02}\ddot{\alpha}_2 &= -k_{21}(\hat{\alpha}_2 - \alpha_{2p}) - k_{22}(\dot{\hat{\alpha}}_2 - \dot{\alpha}_{2p}) + I_{02}\ddot{\alpha}_{2p}. \end{aligned} \quad (20)$$

Таким образом, при описанном формировании неопределенностей, точной их оценке с помощью наблюдателей, применении комбинированного управления (18) уравнения движения робота распадаются на независимые линейные уравнения второго порядка. Выбор коэффициентов законов управления представляет собой тривиальную задачу. Коэффициенты передачи законов управления  $k_{11}, k_{12}, k_{21}, k_{22}$  рассчитывались исходя из биномиального распределения корней в уравнениях (20).

### 5 ОЦЕНКА ВЕКТОРА СОСТОЯНИЯ И НЕОПРЕДЕЛЕННОСТЕЙ

Для измерения состояния робота в системе управления использовались только инкрементные датчики, вырабатывающие тысячу импульсов приращений углов  $\alpha_A$  за оборот. Для получения перемещения эти импульсы суммировались, в результате чего получался релейный многоступенчатый сигнал  $[\alpha]$ . Оценки переменных, входящих в законы управления, получены с помощью асимптотического дифференциатора [2, 3]

$$\dot{\hat{r}} = A\hat{r} + L_r(\hat{r}_1 - [\alpha]), \quad (21)$$

где

$$\hat{r} = \begin{bmatrix} \hat{r}_1 \\ \hat{r}_2 \\ \hat{r}_3 \end{bmatrix} = \begin{bmatrix} \hat{\alpha} \\ \dot{\hat{\alpha}} \\ \ddot{\hat{\alpha}} \end{bmatrix}, \quad A = \begin{bmatrix} 0 & 1 & 0 \\ 0 & 0 & 1 \\ 0 & 0 & 0 \end{bmatrix}, \quad L_r = [l_{r1} \ l_{r2} \ l_{r3}]^T$$

– вектор коэффициентов наблюдателя, в котором принималось  $l_{r1} = -160, l_{r2} = -12800, l_{r3} = -499200$ .

**Примечание.** Хотя оценки ускорений в законах управления не используются, порядок наблюдателей

увеличен до трех для повышения точности оценок скоростей.

Для оценки неопределенностей использовались наблюдатели, соответствующие наблюдателю (41), (42) работы [1],

$$s_1 := \hat{f}_1 + l_{f1}I_{01}\dot{\hat{a}}_1 \Rightarrow \dot{\hat{f}}_1 = s_1 - l_{f1}I_{01}\dot{\hat{a}}_1, \quad (22)$$

$$\dot{s}_1 = l_{f1}(\hat{f}_1 + m_{\alpha 10}); \quad (23)$$

$$s_2 := \hat{f}_2 + l_{f2}I_{02}\dot{\hat{a}}_2 \Rightarrow \dot{\hat{f}}_2 = s_2 - l_{f2}I_{02}\dot{\hat{a}}_2, \quad (24)$$

$$\dot{s}_2 = l_{f2}(\hat{f}_2 + m_{\alpha 20}), \quad (25)$$

где  $l_{f1} = l_{f2} = -500$  – коэффициенты передачи наблюдателей.

### 6 РЕЗУЛЬТАТЫ МОДЕЛИРОВАНИЯ

В системе управления можно выделить 3 подсистемы:

- 1) подсистему управления динамикой (16), (18), (19) при  $f_1, f_2 \equiv 0$  со степенью устойчивости  $\eta_1$ ,
- 2) подсистему оценки неопределенностей (22)–(25) со степенью устойчивости  $\eta_2$ ,
- 3) подсистему оценки вектора состояния робота (21) со степенью устойчивости  $\eta_3$ .

Степени устойчивости должны удовлетворять неравенствам  $\eta_1 < \eta_2 < \eta_3$ .

Моделировалась система уравнений (2), (3), (7)–(9), (16)–(19), (21)–(25) со следующими параметрами:  $l_1 = 2$  м,  $l_2 = 1$  м,  $m_1 = 28$  кг,  $I_{01} = 28$  кг·м<sup>2</sup>,  $I_{02} = 1,875$  кг·м<sup>2</sup>;  $m_2 = 14 \dots 44$  кг,  $I_2 = 0,875 \dots 2,875$  кг·м<sup>2</sup>,  $m_{\alpha i} = m_{\alpha i0} \pm 0,2m_{\alpha i0}$  ( $i = 1, 2$ ). Инкрементный датчик с 1000 импульсов за оборот. Программная скорость  $\dot{x}_p$  груза (точки 3) показана на рис. 4, где  $t_1 = 0,5$  с,  $t_2 = 3,99$  с,  $t_3 = 4,49$  с. Начальные условия:  $x_0 = 1$  м,  $\dot{x}_0 = 0$ ; конечные условия  $x_f = 3$  м,  $\dot{x}_f = 0$ .

Моделировались три случая:

- 1) с номинальными параметрами;
- 2) с максимальными массами и моментами инерции при минимальной крутизне моментных характеристик двигателей;
- 3) с минимальными массами и моментами инерции при максимальной крутизне моментных характеристик двигателей.

(Варианты 2 и 3 дают наихудшие сочетания неопределенностей). Результаты моделирования всех трех вариантов представлены на рис. 2–6. На всех рисунках оценки практически совпадают с оцениваемыми переменными. На рис. 2 и 4 истинные переменные и их оценки практически совпадают с программными

рад.  $\alpha_{1p}, \hat{\alpha}_1, \alpha_1, \alpha_{2p}, \hat{\alpha}_2, \alpha_2$ ;

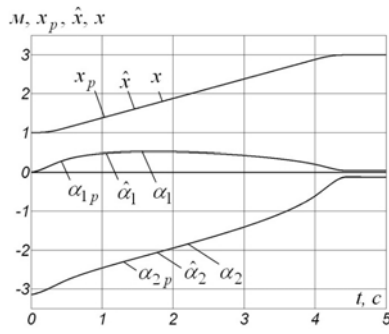


Рисунок 2

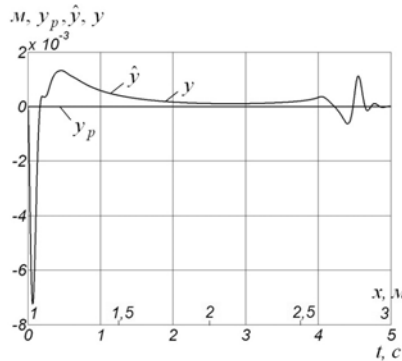


Рисунок 3

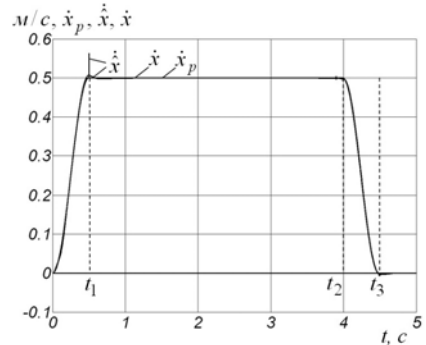


Рисунок 4

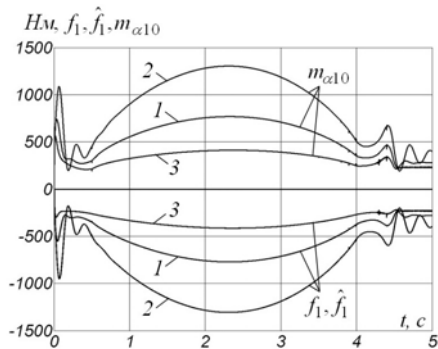


Рисунок 5

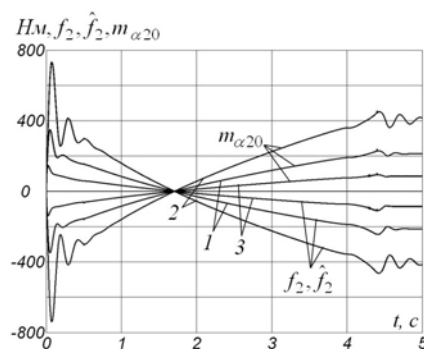


Рисунок 6

значениями. Наибольшие погрешности обработки программных значений зафиксированы для координаты  $y$  ( $y_p = 0$ ). Как следует из рис. 3, эти ошибки не превышают 1 мм, а в установившемся режиме составляют доли миллиметра. (Оптимизация системы управления не проводилась). На рис. 5 и 6 представлены неопределенности  $f_1, f_2$  их оценки  $\hat{f}_1, \hat{f}_2$  и моменты двигателей, осуществляющих компенсацию неопределенностей и обеспечивающие программное управление. Цифры 1, 2, 3 указывают на вариант сочетаний неопределенностей. Как видно из рис. 5, 6, после завершения кратковременных (0,5 с) переходных процессов имеется полное соответствие (зеркальное отображение) между неопределенностями и управляющими моментами.

**ЗАКЛЮЧЕНИЕ**

Вторая часть работы служит иллюстрацией эффективности робастного метода управления, рассмотренного в первой части. В качестве примера выбран управляемый двухзвенный робот, обеспечивающий перемещение груза по горизонтальной оси  $Ox$  из одной точки в другую с заданной скоростью. Для организации управления используются 2 инкрементных датчика углов поворота в шарнирах. Выходная ин-

формация датчиков после несложной обработки представляет собой многоступенчатый сигнал (измерение регулируемых координат груза не производится). Неопределенными в системе являются масса (вес), момент инерции и координаты центра тяжести второго звена и управляющие моменты. Для обеспечения управления решена кинематическая задача вычисления программных углов поворота в шарнирах из условия заданного перемещения груза. Составлены уравнения движения робота, которые, несмотря на его двухзвенность, сложны. В соответствии с первой частью работы, уравнения движения приведены к двум линейным уравнениям с постоянными коэффициентами, связанными между собой только через неопределенности. В неопределенности объединены собственно неопределенности, нелинейности, перекрестные связи, нестационарности и неточность управляющих моментов.

С помощью двух асимптотических дифференциаторов третьего порядка получены оценки скорости и ускорения углов поворота в шарнирах. С помощью двух независимых наблюдателей первого порядка осуществляются оценки неопределенностей.

Оценки скоростей и неопределенностей позволили сформировать для каждой степени свободы два независимых комбинированных регулятора, каждый из

которых состоит из двух частей: 1) компенсирующей влияние неопределенности и 2) регулятора, обеспечивающего заданный вид переходных процессов при отслеживании программных перемещений и скоростей. За счет принятой структуры уравнений движения робота и комбинированного принципа управления обеспечивается не только робастность, а и высокая точность управления. Несмотря на существенную нелинейность и нестационарность динамики робота, алгоритмы управления являются чрезвычайно простыми, линейными, стационарными, поканально декомпозированными. Примененный метод управления, несмотря на нелинейность и нестационарность уравнений движения, позволяет характеризовать динамические свойства системы управления показателями качества линейных систем управления. Более того, для синтеза рассматриваемой системы управления нет необходимости точно знать уравнения движения объекта управления, которые в рассмотренном примере даже не принимались во внимание при синтезе системы управления. Некоторыми из перечисленных положительных качеств обладают системы с переменной структурой (СПС). В отличие от СПС, рассмотренное управление лишено скользящих режимов и присущих им недостатков: высокочастотных колебаний, снижения надежности, повышенных энергозатрат на управление, возбуждения высокочастотной паразитной динамики.

Материалы второй части данной работы полностью подтверждают результаты теоретических исследований первой части.

УДК 62-50

С. О. Симонян, А. Г. Аветисян, Д. А. Казарян

## РЕШЕНИЕ ЗАДАЧ ЛИНЕЙНОГО БЫСТРОДЕЙСТВИЯ С ЗАКРЕПЛЕННЫМИ КРАЕВЫМИ УСЛОВИЯМИ В ОБЛАСТИ ДИФФЕРЕНЦИАЛЬНЫХ ПРЕОБРАЗОВАНИЙ (ОБЩИЙ СЛУЧАЙ)

*Рассматриваются задачи линейного быстрогодействия с закрепленными краевыми условиями и векторным управляющим воздействием (общий случай), для решения которых в качестве основного математического аппарата выступают дифференциальные преобразования Г. Е. Пухова. Показываются достоинства предложенного подхода по сравнению с несколькими известными методами.*

### ВВЕДЕНИЕ

В известных работах [1, 3–5] задача, вынесенная в название статьи, решается с помощью определения

© Симонян С. О., Аветисян А. Г., Казарян Д. А., 2009

### ПЕРЕЧЕНЬ ССЫЛОК

1. Потапенко Е. М. Высокоточное управление неопределенными многосвязными объектами. Часть 1. Синтез и анализ алгоритмов управления / Е. М. Потапенко, А. Е. Казурова // Кибернетика и вычислительная техника. – 2007. – Вып. 155. – С. 58–71.
2. Дылевский А. В. Применение метода пространства состояний для синтеза дифференциаторов / А. В. Дылевский, Г. И. Лозгачев // Автоматика и телемеханика / Рос. акад. наук. – 1999. – № 9. – С. 13–20.
3. Потапенко Е. М. Асимптотическое дифференцирование ступенчатых сигналов в задачах управления скоростью и перемещением / Е. М. Потапенко, Е. Е. Потапенко, А. Е. Казурова // Электромашиностроения та електрообладнання. – К. : Техніка, 2006. – Вип. 66 : Проблеми автоматизованого електропривода. Теорія і практика : тематичний випуск. – С. 286–287.

Надійшла 7.10.2008

*За допомогою метода, що розроблено у першій частині роботи [1], синтезується закон керування переміщенням невідомого вантажа дволанковим роботом із неточно відомими характеристиками виконавчих органів. У якості вимірювачей використовуються тільки датчики кутів повороту ланок робота. Комп'ютерне моделювання підтвердило робастність та високу точність керування, що розглядається.*

*With the help of the method designed in the first part of the paper [1] synthesized was the law of transfer control of unknown load by two-link robot with uncertain characteristics of the effector. Linear-and-angular movement sensors of robot units are used as the only measuring device. Computer simulation has confirmed the robustness and high-precision of the control being considered.*

собственных чисел и собственных векторов матрицы объекта управления, ее фундаментальной матрицы, а также вектора начальных значений сопряженных переменных, обеспечивающих оптимальность закона управления. Перечисленные задачи требуют большого объема вычислений.

Целью данной статьи является устранение необходимости решения перечисленных задач за счет сведения задачи к задаче нелинейного программирования.